

層構造を持つ磁性体の転移点近傍の 常磁性帶磁率

岡大 理 川部 健

§1. 序

磁性物質において、原子間の交換結合の大きさが結合の方向で異なる層構造を持つ物質の研究は、今まで多くなされてきている。¹⁾ これは結晶型が単純立方格子の磁性体で、2方向の原子間の交換結合が異方的である場合の転移点、及び常磁性帶磁率を特に格子グリーン関数に関連づけて考えてみる。結合が強磁性的であるか、反強磁性的であるか(=従つ2、表1)の4種類の層構造を考えられる。

表1.

これら4種類の層構造の
磁性体についてハミゼン
ベルグ・モデルで、2時間温
度グリーン関数の方法²⁾

層構造の種類	交換結合の大きさ	
	X, Y方向	Z方向
I	J	αJ
II	J	$-\alpha J$
III	$-J$	$-\alpha J$
IV	$-J$	αJ

交換結合は最近接原子間に属するものである
但し、 $J, \alpha > 0$ 。

を用いて転移点、及びその近傍の常磁性帶磁率を求める。I, II
III, IVの系のハミルトニアンを一般的に次の様に与えら。

$$\mathcal{H} = -\sum_{m,n} J_{mn} S_m^z S_n^z - K \sum_m S_m^{z^2} - g \mu_B H \sum_m S_m^z. \quad (1)$$

(1) ここで J_{mn} は m site, n site の原子間の交換結合の大きさで、
[I] ~ [IV] に従って異なる値を持つ。 K は玉方向の結晶場の
異方性定数, H は玉方向の静磁場である。2 時間温度グリーン
関数を次の様に定義する。

$$G_{mn}(t-t') = \langle\langle S_n^+(t); e^{\alpha S_m^z(t')} S_m^-(t') \rangle\rangle. \quad (2)$$

R.P.A., N.N.A. を使い横成分の相関関数は強磁性体³⁾, 及び“反強
磁性体”⁴⁾ でなされたのと同じ様にして求められる。同じ位置
の相関関数は [I] にみて

$$\langle S_n^- S_n^+ \rangle = 2 \langle S^z \rangle \frac{1}{N} \sum_{\mathbf{k}} \frac{1}{e^{\beta \omega_{\mathbf{k}}} - 1}. \quad (3)$$

(3) ここで $\omega_{\mathbf{k}}$ は波数ベクトル \mathbf{k} を持つスピントラベルエネルギーで、
 $\beta = 1/k_B T$ 。
[II], [III], [IV] に対しては、その上向き, 下向
きのスピントラベルを考慮する。そこで、次の様に
する。
 $\langle S_n^- S_n^+ \rangle = 2 \sigma_A \frac{2}{N} \sum_{\mathbf{k}} \left(\frac{C_{1\mathbf{k}}}{e^{\beta \omega_{1\mathbf{k}}} - 1} + \frac{C_{2\mathbf{k}}}{e^{\beta \omega_{2\mathbf{k}}} - 1} \right). \quad (4)$

(4) ここで $C_{1\mathbf{k}}, C_{2\mathbf{k}}, \omega_{1\mathbf{k}}, \omega_{2\mathbf{k}}$ は副格子 A, B での $\langle S^z \rangle$ の値 σ_A ,
 σ_B の関数である。また $\langle S_n^- S_n^+ \rangle_{BB}$ は (4) の右辺で $\sigma_A \rightarrow \sigma_B$,
 $\sigma_B \rightarrow \sigma_A$ の置き換えによって与えられる。(3), (4) の \mathbf{k} sum は

第1ブリルアン領域につれての和で [I], [III] につれては, $|k_x|$, $|k_y|, |k_z| \leq \pi$, [II] に対しては $|k_x|, |k_y| \leq \pi, |k_z| \leq \frac{\pi}{2}$, [IV] に対して $|k_x|, |k_y| \leq \frac{\pi}{2}, |k_z| \leq \pi$ の範囲につれてとされる。但し、格子定数は 1 にとて ≈ 3 , (3), (4) における $\langle S^z \rangle$ は次の表式で与えられる。^{3), 4)}

$$\langle S^z \rangle = \frac{(s-\hbar)(1+\hbar)^{2s+1} + (s+1+\hbar)\hbar^{2s+1}}{(1+\hbar)^{2s+1} - \hbar^{2s+1}}. \quad (5)$$

次で [I] に対して.

$$\hbar = \frac{1}{N} \sum_{\mathbf{k}} \frac{1}{e^{\beta \omega_{\mathbf{k}}} - 1}, \quad (6)$$

[II], [III], [IV] における副格子 A に対して.

$$\hbar = \hbar_{AA} = \frac{2}{N} \sum_{\mathbf{k}} \left(\frac{C_{1\mathbf{k}}}{e^{\beta \omega_{1\mathbf{k}}} - 1} + \frac{C_{2\mathbf{k}}}{e^{\beta \omega_{2\mathbf{k}}} - 1} \right). \quad (7)$$

(3) ~ (7) では sum rule $\langle S_n \cdot S_n \rangle = s(s+1)$ が転移点近傍で成り立たないが、近似として認めることとする。⁵⁾

$\beta \omega_{\mathbf{k}}, \beta \omega_{1\mathbf{k}}, \beta \omega_{2\mathbf{k}} \ll 1$ のとき (6), (7) は、それと

$$\hbar \approx \frac{1}{\beta} \frac{1}{N} \sum_{\mathbf{k}} \frac{1}{\omega_{\mathbf{k}}}, \quad (6a)$$

$$\hbar_{AA} \approx \frac{1}{\beta} \frac{2}{N} \sum_{\mathbf{k}} \left(\frac{C_{1\mathbf{k}} \omega_{2\mathbf{k}} + C_{2\mathbf{k}} \omega_{1\mathbf{k}}}{\omega_{1\mathbf{k}} \omega_{2\mathbf{k}}} \right). \quad (7a)$$

又このとき、 $\hbar, \hbar_{AA} \gg 1$ となるから、(3) が

$$\langle S^z \rangle \approx \frac{s(s+1)}{3\hbar} . \quad (8)$$

(6a), (7a), (8) から $H=0$ のとき $\langle S^z \rangle \rightarrow 0$ として転移点を定める。転移点近傍で $g\mu_B H \ll k_B T$ の時は、(6a), (7a), (8)を用いて、イオンあたりの常磁性帶磁率 $\chi_p = \frac{g\mu_B \langle S^z \rangle}{H}$ を容易に得ることが出来る。§2. ~ §5. では [I] ~ [IV] の層構造について、転移点及び帶磁率を具体的に求める。

§2. 層構造 [I]

$$J_\delta^x = J_\delta^y = J, \quad J_\delta^z = \alpha J$$

この場合のスピン波エネルギーは

$$\omega_k = 2K\langle S^z \rangle + 2(J(0) - J(\|k\|))\langle S^z \rangle + g\mu_B H, \quad (9)$$

$$J(\|k\|) = \sum_{\delta} J_{\delta} e^{i k \cdot \delta}. \quad (10)$$

(6a), (9) から $H=0$ として転移点を求める。 $T \sim T_c$, すなわち $\omega_k \sim 0$ であるから、(6a) から

$$\hbar \approx \frac{I(\mu_0; \alpha)}{12J\beta \langle S^z \rangle} . \quad (11)$$

ここで

$$\frac{1}{\mu_0} = 1 + \frac{K}{J(0)} = 1 + \frac{K}{(4+2\alpha)J}, \quad (12)$$

$$I(\mu; \alpha) = \frac{1}{\pi^3} \iiint_0^{\pi} \frac{dx dy dz}{\frac{1}{\mu} - \frac{2+\alpha}{3} - \frac{\cos x + \cos y + \alpha \cos z}{3}} . \quad (13)$$

(13) は原点の格子グリーン関数である。(8), (11) から 転移点は

$$k_B T_c = \frac{4JS(S+1)}{I(\mu_0; \alpha)}, \quad (14)$$

で与えられる。 $K=0$ のとき $\mu_0=1$ であるから、 $I(1; \alpha)$ の
 $\alpha \rightarrow 0, \alpha \rightarrow \infty$ の漸近形を用いれば

$$\alpha \rightarrow 0 \text{ (2次元)} \quad \frac{k_B T_c}{4JS(S+1)} \longrightarrow -\frac{2\pi}{3} \frac{1}{\log \alpha}, \quad (15)$$

$$\alpha \rightarrow \infty \text{ (1次元)} \quad \frac{k_B T_c}{4JS(S+1)} \longrightarrow \frac{A_0}{\sqrt{\alpha}}. \quad (16)$$

(16) で $J_{\frac{1}{2}}^z = J'$, また。

$$A_0 = \frac{\pi}{12 \int_0^{1/4} k_0 K(k_0) d\xi} = 1.92865, \quad (17)$$

$$K_0 = \frac{1}{\sqrt{1 + \sin^2 2\pi \xi}}.$$

(15) は高温展開による方法の結果⁶⁾と異なる。次に転移点近傍の帶磁率を $g\mu_B H \ll k_B T$ の場合について考える。(6a), (9)

$$\text{から } h \approx \frac{I(\mu; \alpha)}{12J/3 \langle S^z \rangle}, \quad (18)$$

$$\frac{1}{\mu} = \frac{1}{\mu_0} + \frac{g\mu_B H}{2J(0) \langle S^z \rangle}, \quad (18a)$$

が得られる。(18a) は帶磁率 χ_p を用いて表わせば

$$\frac{(g\mu_B)^2}{4(2+\alpha)J\chi_p} = \frac{1}{\mu} - \frac{1}{\mu_0}. \quad (19)$$

(8), (18) より 温度 T は次の様に表わされる。

$$k_B T = 4JS(S+1)/I(\mu; \alpha), \quad (20)$$

(14), (20) から T_c との関係は

$$T/T_c = I(\mu_0; \alpha)/I(\mu; \alpha) \quad (21)$$

で与えられる。 χ_p の T_c 近傍の漸近形は $K=0$ のとき (19),

(21) より

$$\frac{(g\mu_B)^2}{4(2+\alpha)J\chi_p} = \frac{I(\mu_0; \alpha)}{\left(\frac{dI(\mu; \alpha)}{d\mu}\right)_{\mu_0} \mu_0^2} \left(1 - \frac{T_c}{T}\right). \quad (22)$$

$K=0$ のとき、 $\mu_0=1$ であるから、 $\mu \sim 1$ の $I(\mu; \alpha)$ の漸近形

が

$$I(\mu; \alpha) = I(1; \alpha) - \frac{3\sqrt{2+\alpha}}{\pi\sqrt{2\alpha}} \sqrt{1-\mu}, \quad (23)$$

で表わされる。ことに注意すれば χ_p は次の式で与えられる。

$$\frac{(g\mu_B)^2}{4(2+\alpha)J\chi_p} = \frac{2\pi^2\alpha I(1; \alpha)^2}{9(2+\alpha)} \left(1 - \frac{T_c}{T}\right)^2. \quad (24)$$

K/J に対する T_c , T に対する χ_p の変化は図1図, 図2に示す
こと。

§3. 層構造 [II]

$$J_s^x = J_s^y = J, \quad J_s^z = -\alpha J$$

副格子 A, B を仮定すれば、副格子の $\langle S^z \rangle$ (σ_A 及び σ_B) は (5) で与えられる。 (5) で副格子 A に対して、(7) の表式 ω_{AA} が用いられる。この場合の ω_{1k}, ω_{2k} は次の2次方程式の根で与えられる。

$$\begin{aligned}
 & (\omega - g\mu_B H)^2 + 2(\sigma_A + \sigma_B)(\Omega(k) - J^{(2)}(0))(\omega - g\mu_B H) \\
 & + 4(\sigma_A \Omega(k) - \sigma_B J^{(2)}(0))(\sigma_B \Omega(k) - \sigma_A J^{(2)}(0)) - 4\sigma_A \sigma_B J^{(2)}(k)^2 = 0
 \end{aligned} \tag{25}$$

(25) にあひて.

$$\Omega(k) = J^{(1)}(k) - J^{(1)}(0) - K, \tag{26}$$

$$J^{(1)}(k) = \sum_{\delta} J_{\delta}^{(1)} e^{ik\delta} = 2J(\cos k_x + \cos k_y) \tag{27}$$

$$J^{(2)}(k) = \sum_{\delta} J_{\delta}^{(2)} e^{ik\delta} = -2\alpha J \cos k_z$$

(27) で (1) は層の面内の原子間の結合, (2) は層間の原子間の結合を表わす. C_{1k}, C_{2k} は次の方程式を満足する.

$$C_{1k} + C_{2k} = 1, \tag{28}$$

$$C_{1k} \omega_{2k} + C_{2k} \omega_{1k} = g\mu_B H + 2\sigma_A J^{(2)}(0) - 2\sigma_B \Omega(k).$$

$H=0$ のとき $\sigma_A = -\sigma_B$, $T \sim T_N$ で $\sigma_A \sim 0$ であることに注意すれば (7a), (25) ~ (28) から

$$\mu_{AA} \approx -\frac{1}{\beta \sigma_A} \cdot \frac{1}{N} \sum_{kk} \frac{\Omega(k) + J^{(2)}(0)}{(\Omega(k) + J^{(2)}(0))^2 - J^{(2)}(k)^2} = \frac{I(\mu_0; \alpha)}{12J\beta\sigma_A}, \tag{29}$$

$$\frac{1}{\mu_0} = 1 + \frac{K}{J^{(1)}(0) - J^{(2)}(0)} = 1 + \frac{K}{(4+2\alpha)J}. \tag{30}$$

(8), (29) から

$$k_B T_N = 4JS(S+1)/I(\mu_0; \alpha) \tag{31}$$

従って転移点¹⁴は [I] の場合と等しくなる。※1 図参照。

次に転移点のすぐ上の常磁性帶磁率 χ_p を $g\mu_B H \ll k_B T$ として.

$$\text{求め3. } \kappa_A = \frac{g\mu_B H}{2\sigma_A J^{(1)}(0)}, \quad \kappa_B = \frac{g\mu_B H}{2\sigma_B J^{(1)}(0)} \quad \text{とあれば (7a), (8),}$$

(25)～(28) より $\kappa_{AA} = \kappa_{BB} = \kappa$ といつて、次の式が得られる。

$$\frac{S(S+1)/3}{3} = \frac{1}{2J^{(1)}(0)} \frac{2}{N} \sum_{\text{IR}} \frac{\kappa_B + \frac{\sigma_A J^{(2)}(0)}{\sigma_B J^{(1)}(0)} + 1 + \frac{K - J^{(1)}(\text{IR})}{J^{(1)}(0)}}{F(\text{IR})}, \quad (32)$$

$$F(\text{IR}) = \frac{1}{\sigma_A \sigma_B J^{(1)}(0)^2} \left\{ (\sigma_A Q(\text{IR}) - \sigma_B J^{(2)}(0))(\sigma_B Q(\text{IR}) - \sigma_A J^{(2)}(0)) - \sigma_A \sigma_B J^{(2)}(\text{IR})^2 \right. \\ \left. - \frac{1}{2} g\mu_B H (\sigma_A + \sigma_B)(Q(\text{IR}) - J^{(2)}(0)) + \frac{1}{4} (g\mu_B H)^2 \right\}. \quad (33)$$

κ_{BB} についでも同様な関係式が得られる。結果は (32), (33) で σ, K の suffix を $A \rightarrow B, B \rightarrow A$ で置換えた表式となる。

2の2式から

$$\kappa_A + \frac{\sigma_B}{\sigma_A} \frac{J^{(2)}(0)}{J^{(1)}(0)} = \kappa_B + \frac{\sigma_A}{\sigma_B} \frac{J^{(2)}(0)}{J^{(1)}(0)}. \quad (34)$$

これを解くと

$$\sigma_A = \sigma_B \quad \text{又は} \quad \sigma_A + \sigma_B = -\frac{g\mu_B H}{2J^{(2)}(0)}. \quad (35)$$

後者の解は T_N における χ_p に関する値を与える。 $\sigma_A = \sigma_B$ のとき

(32) は次の様になる。

$$\frac{S(S+1)J^{(1)}(0)}{k_B T} = I(\mu; \alpha), \quad (36)$$

$$\frac{1}{\mu} = \frac{2}{2+\alpha} \left(\kappa_A + 1 + \frac{K + J^{(2)}(0)}{J^{(1)}(0)} \right). \quad (37)$$

(31), (36) より

$$T/T_N = I(\mu_0; \alpha) / I(\mu; \alpha) \quad (38)$$

(30), (37) から

$$\frac{(g\mu_B)^2}{4(2+\alpha)J\chi_p} = \frac{1}{\mu} - \frac{1}{\mu_0} + \frac{2\alpha}{2+\alpha}. \quad (39)$$

χ_p の温度依存性は [I] の場合と同じであるが、 T_N における値は第 2 図、第 3 図に示される様に一定範囲の有限な値を持つ。

§4. 層構造 [III]

$$J_\delta^x = J_\delta^y = -J, \quad J_\delta^z = -\alpha J$$

副格子 A, B を仮定する。 (7) 式における μ_{AA} の ω_{1k}, ω_{2k} は次の 2 次方程式の 2 根で与えられる。

$$(\omega - g\mu_B H)^2 - 2(\sigma_A + \sigma_B)(K + J(0))(\omega - g\mu_B H) + 4(K\sigma_A' + J(0)\sigma_B') \\ \times (K\sigma_B' + J(0)\sigma_A') - 4J(k)^2\sigma_A'\sigma_B' = 0. \quad (40)$$

$$\therefore \omega^2$$

$$J(k) = \sum_\delta J_\delta e^{ik\delta} = -2J(\cos k_x + \cos k_y + \alpha \cos k_z). \quad (41)$$

又 C_{1k}, C_{2k} は次の方程式を満たす。

$$C_{1k} + C_{2k} = 1, \quad (42)$$

$$C_{1k}\omega_{2k} + C_{2k}\omega_{1k} = g\mu_B H + 2K\sigma_B + 2J(0)\sigma_A.$$

転移点は [II] の場合と同様にして得られる。 (7a), (40) ~ (42) から

$$\mu_{AA} \approx \frac{1}{\beta\sigma_A} \frac{1}{N} \sum_k \frac{K - J(0)}{(K - J(0))^2 - J(k)^2} = \frac{I(\mu_0; \alpha)}{12J\beta\sigma_A}, \quad (43)$$

$$\frac{1}{\mu_0} = 1 - \frac{K}{J(0)} = 1 + \frac{K}{(4+2\alpha)J} \quad (44)$$

(8), (43) より

$$k_B T_N = 4JS(S+1) / I(\mu_0; \alpha). \quad (45)$$

この場合も転移点は[I], [II]の場合と等しくなる。次に転移点。

のすぐ上の常磁性帯磁率 χ_p を調べる。 $\kappa_A = \frac{g\mu_B H}{2J(0)\sigma_A}$,
 $\kappa_B = \frac{g\mu_B H}{2J(0)\sigma_B}$ とあれば(7a), (8), (40)~(42)より $\kappa_{AA} = 1$ に対し、

$$\frac{s(s+1)\beta}{3} = \frac{1}{2J(0)} \frac{1}{N} \sum_k \frac{\kappa_B + \frac{\sigma_A}{\sigma_B} + \frac{K}{J(0)}}{(\kappa_B + \frac{K\sigma_A}{J(0)\sigma_B} + 1)(\kappa_A + \frac{K\sigma_B}{J(0)\sigma_A} + 1) - (\frac{J(k)}{J(0)})^2} \quad (46)$$

κ_{BB} に対しても同様な関係式が得られる。この2式から

$\sigma_A = \sigma_B$ という解が得られる。このとき (46) から

$$\frac{4JS(s+1)}{k_B T} = I(\mu; \alpha), \quad (47)$$

$$\frac{1}{\mu} = -\kappa_A - 1 - \frac{K}{J(0)}. \quad (48)$$

(45), (47) より

$$T/T_N = I(\mu_0; \alpha)/I(\mu; \alpha) \quad (49)$$

$$(48) \text{ より } \frac{(g\mu_B)^2}{4(2+\alpha)J\chi_p} = \frac{1}{\mu} - \frac{1}{\mu_0} + 2. \quad (50)$$

この場合も χ_p の温度依存性は[I]の場合と同じであるが、 T_N での値は (50) 式、或は第2図に示される様に一定値をとる。

§5. 層構造[IV]

$$J_s^x = J_s^y = -J, \quad J_s^z = \alpha J$$

この場合、(7) 式における ω_{1k}, ω_{2k} は次の2次方程式の根で与

えらべる。

$$\begin{aligned} (\omega - g\mu_B H)^2 - 2(\sigma_A + \sigma_B)(\Omega(k) + J^{(1)}(0))(\omega - g\mu_B H) \\ + 4(\Omega(k)\sigma_A + J^{(1)}(0)\sigma_B)(\Omega(k)\sigma_B + J^{(1)}(0)\sigma_A) - 4\sigma_A\sigma_B J^{(1)}(k)^2 = 0. \end{aligned} \quad (51)$$

2 2 2"

$$\Omega(k) = K + J^{(2)}(0) - J^{(2)}(k), \quad (52)$$

$$J^{(1)}(k) = \sum_s J_s^{(1)} e^{ik\delta} = -2J(\cos k_x + \cos k_y), \quad (53)$$

$$J^{(2)}(k) = \sum_s J_s^{(2)} e^{ik\delta} = 2\alpha J \cos k_z.$$

又、 C_{1k}, C_{2k} は次の方程式を満たす。

$$C_{1k} + C_{2k} = 1, \quad (54)$$

$$C_{1k} \omega_{2k} + C_{2k} \omega_{1k} = g\mu_B H + 2\sigma_B \Omega(k) + 2\sigma_A J^{(1)}(0).$$

[II] の場合と同様(=して転移点を求める)。 (7a), (51)~(54) より

$$\hbar_{AA} \approx \frac{1}{\beta\sigma_A} \frac{1}{N} \sum_k \frac{\Omega(k) - J^{(1)}(0)}{(\Omega(k) - J^{(1)}(0))^2 - J^{(1)}(k)^2} = \frac{MI(\mu_0; \alpha)}{12J\beta\sigma_A}, \quad (55)$$

$$\frac{1}{\mu_0} = 1 + \frac{K}{-J^{(1)}(0) + J^{(2)}(0)} = 1 + \frac{K}{(4+2\alpha)J}. \quad (56)$$

(55) 2"

$$MI(\mu; \alpha) = \frac{48}{\pi} \int_0^{1/8} \frac{k}{\sqrt{\alpha}} K(k) dk - 2I(\mu; \alpha) + \iint_{y_2}^1 \frac{12 dx dy}{\sqrt{\left(\frac{2+\alpha}{\mu} - \cos \pi x - \cos \pi y\right)^2 - d^2}}, \quad (57)$$

$$k = \frac{2\mu\sqrt{\alpha}}{\sqrt{(2+\alpha-\mu \cos 4\pi\xi)^2 - (\alpha-1)^2\mu^2}}. \quad (58)$$

(57) 2" $K(k)$ は $\neq 1$ 種完全積分。 (8), (55) より

$$k_B T_N = 4JS(S+1)/MI(\mu_0; \alpha). \quad (59)$$

この T_N は [I], [II], [III] の場合と異なる。※1 図参照。次に常磁性

帶磁率 χ_p を考える。 $\kappa_A = \frac{8\mu_B H}{2J^{(1)}(0)\sigma_A}$, $\kappa_B = \frac{8\mu_B H}{2J^{(2)}(0)\sigma_B}$ とおけ

(は) (7a), (8), (51)~(54) および μ_{AA} に付し。

$$\frac{S(S+1)/\beta}{3} = \frac{1}{2J^{(1)}(0)N} \sum_{ik} \frac{\kappa_B + \frac{\sigma_A}{\sigma_B} + \frac{\Omega(k)}{J^{(1)}(0)}}{(\kappa_A + \frac{\sigma_B}{\sigma_A} + \frac{\Omega(k)}{J^{(2)}(0)}) (\kappa_B + \frac{\sigma_A}{\sigma_B} + \frac{\Omega(k)}{J^{(1)}(0)}) - (\frac{J^{(1)}(k)}{J^{(2)}(0)})^2} \quad (60)$$

(60) と μ_{BB} に対する同様な式から $\sigma_A = \sigma_B$ を得る。このとき

(60) より

$$k_B T = 4JS(S+1)/MI(\mu; \alpha), \quad (61)$$

$$\frac{1}{\mu} = -\frac{2}{2+\alpha} \left(\kappa_A + 1 + \frac{K+J^{(2)}(0)}{J^{(1)}(0)} \right). \quad (62)$$

(59), (62) から

$$T/T_N = MI(\mu_0; \alpha)/MI(\mu; \alpha). \quad (63)$$

(56), (62) より

$$\frac{(g\mu_B)^2}{4(2+\alpha)J\chi_p} = \frac{1}{\mu} - \frac{1}{\mu_0} + \frac{4}{2+\alpha}. \quad (64)$$

この場合の χ_p の温度依存性は ※4 図に示す様に [I], [II], [III] の場合と異なる。 T_N 近傍におけるその漸近形は次の様になる。

$K \neq 0$ のとき

$$\frac{(g\mu_B)^2}{4(2+\alpha)J\chi_p} = \frac{4}{2+\alpha} + \frac{MI(\mu_0; \alpha)}{\left(\frac{dMI(\mu; \alpha)}{d\mu}\right)_{\mu_0} \cdot \mu_0^2} \left(1 - \frac{T_N}{T}\right), \quad (65)$$

$K=0$ のとき

$$\frac{(g\mu_B)^2}{4(2+\alpha)J\chi_p} = \frac{4}{2+\alpha} + \frac{\pi^2 \alpha MI(1; \alpha)^2}{18(2+\alpha)} \left(1 - \frac{T_N}{T}\right)^2. \quad (66)$$

参考文献

- 1) T. Oguchi : Phys. Rev. 133(1964) A1098.
 H. Kobayashi and T. Haseda : J. phys. Soc. Japan 19(1964) 765.
 M.E. Lines : Phys. Rev. 164(1967) 736.
 G. de Vries, D. J. Breed, E. P. Marshall and A.R. Miedema :
 J. appl. Phys. 39(1968) 1207.
 J. Skalyo, JR., and G. Shirane : phys. Rev. 188(1969) 1037.
 M.S. Seehra : Phys. Letters. 28A(1969) 754.
- 2) D.N. Zubarev : Soviet Phys. Usp. 3 (1960) 320.
- 3) H.B. Callen : Phys. Rev. 130 (1963) 890.
- 4) K.H. Lee and S.H. Liu : Phys. Rev. 159 (1967) 390.
- 5) H. Tanaka and K. Tani : Prog. Theor. Phys. 41 (1969) 590.
- 6) H.E. Stanley and T.A. Kaplan : Phys. Rev. Lett. 17 (1966)
 913.

図1 図. 層構造 [I] ~ [IV] の転移点

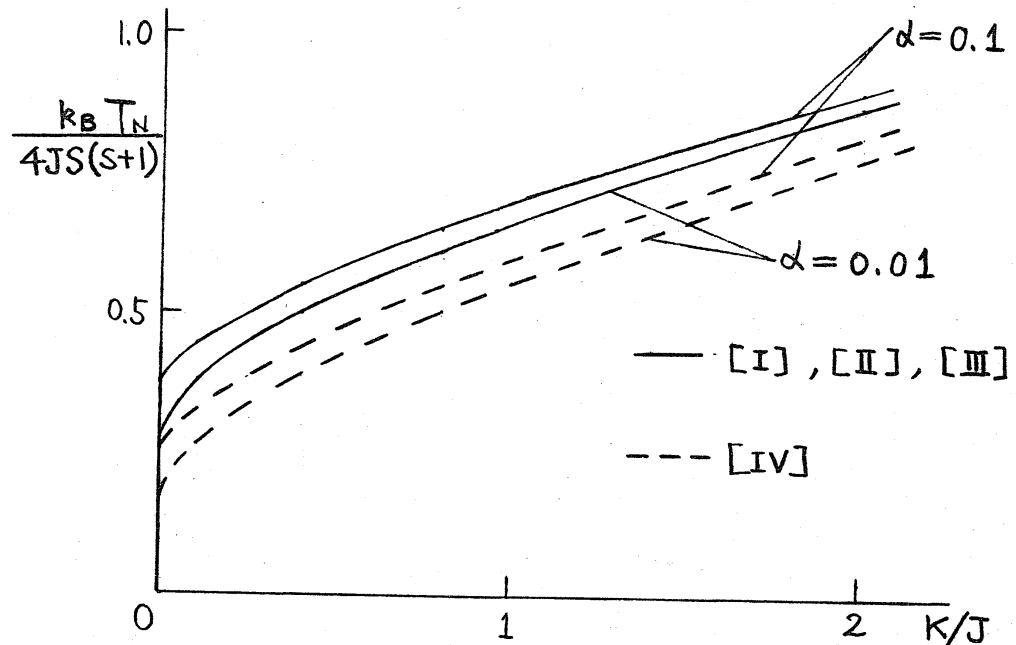
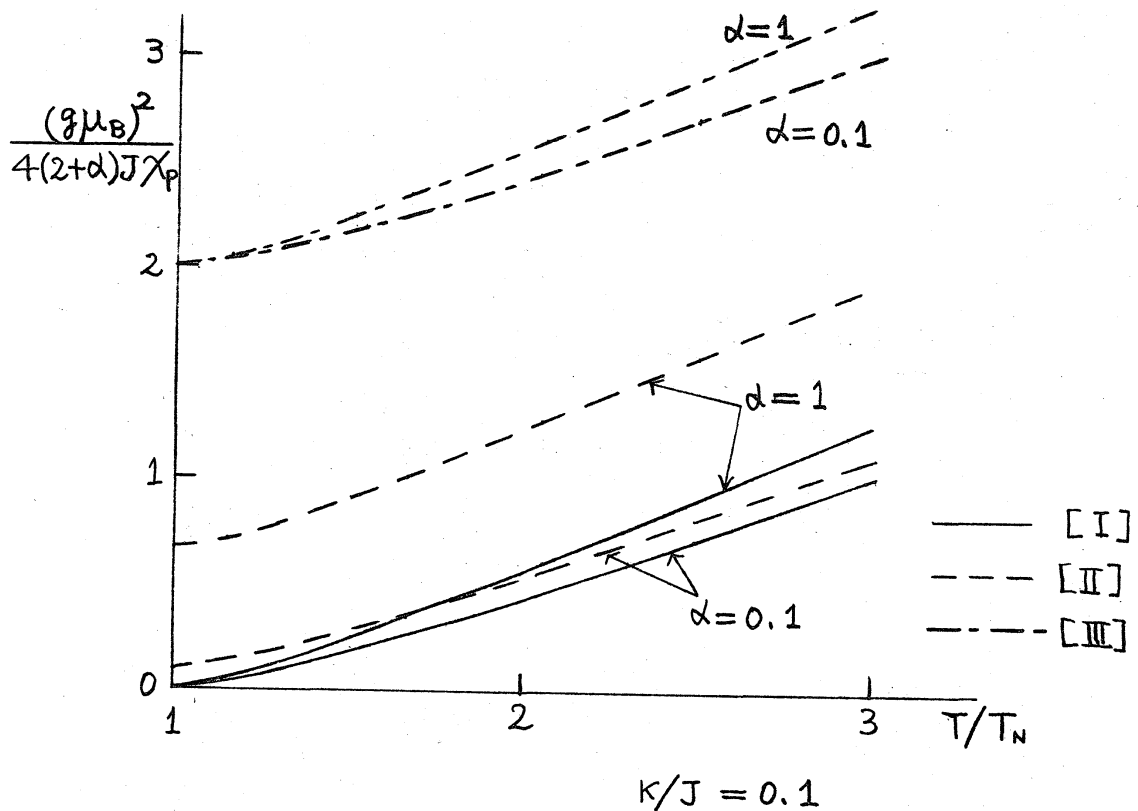
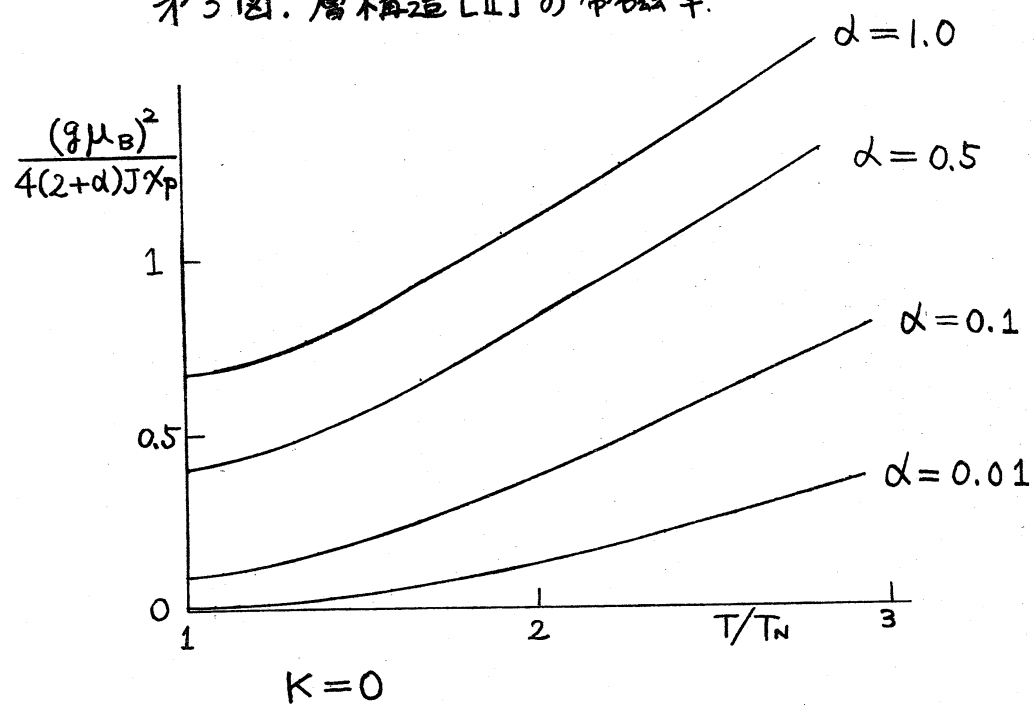


図2 図. 層構造 [I], [II], [III] の磁率



第3図. 層構造[II]の帯磁率



第4図. 層構造[IV]の帯磁率

